

# СОПОСТАВЛЕНИЕ ЭФФЕКТИВНОСТИ ЗАХВАТОВ РЕЛЯТИВИСТИЧЕСКИХ ЭЛЕКТРОНОВ В РЕЗОНАНС ЛАНДАУ И В ЦИКЛОТРОННЫЙ РЕЗОНАНС ДЛЯ КВАЗИЭЛЕКТРОСТАТИЧЕСКИХ ВОЛН В НЕОДНОРОДНОМ МАГНИТНОМ ПОЛЕ

**А.А. Васильев, А.В. Артемьев**



Space Research Institute  
Russian Academy of Science

# Нелинейное взаимодействие

Условия резонанса

$$\omega - k_{\parallel} v_{\parallel} = n \omega_c / \gamma,$$

$$\omega_c > \omega \gamma$$

$$n = -1$$

$$k_{\parallel} v_{\parallel} < 0$$

$$\omega = -k v_{\parallel} - \omega_c / \gamma$$

Вблизи резонанса уравнения движения частицы могут быть переписаны в виде уравнения для нелинейного математического маятника с крутящим моментом

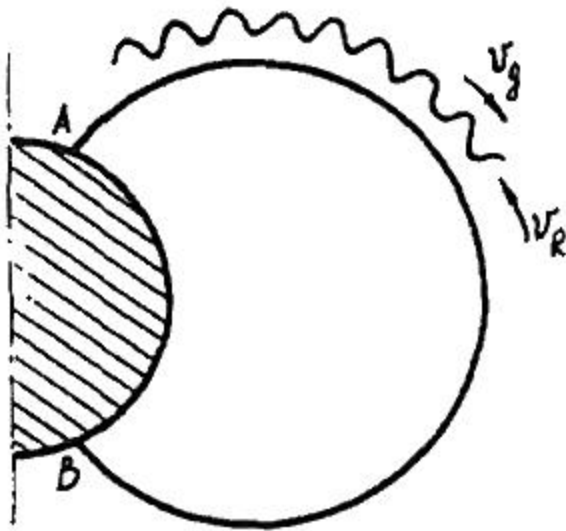
$$\frac{d\xi}{dt} = \xi$$

*D. Nunn, 1971,  
V.I. Karpman, 1975*

$$\frac{d\xi}{dt} = - \left[ - \frac{1}{2\tau^2} \cos 2\xi + \alpha \right]$$

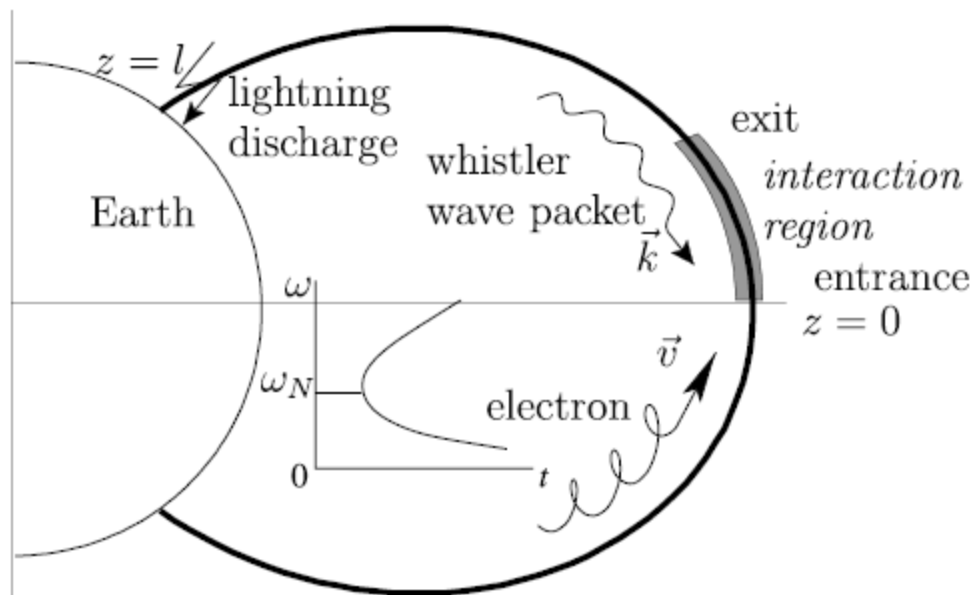
nonlinearity

inhomogeneity



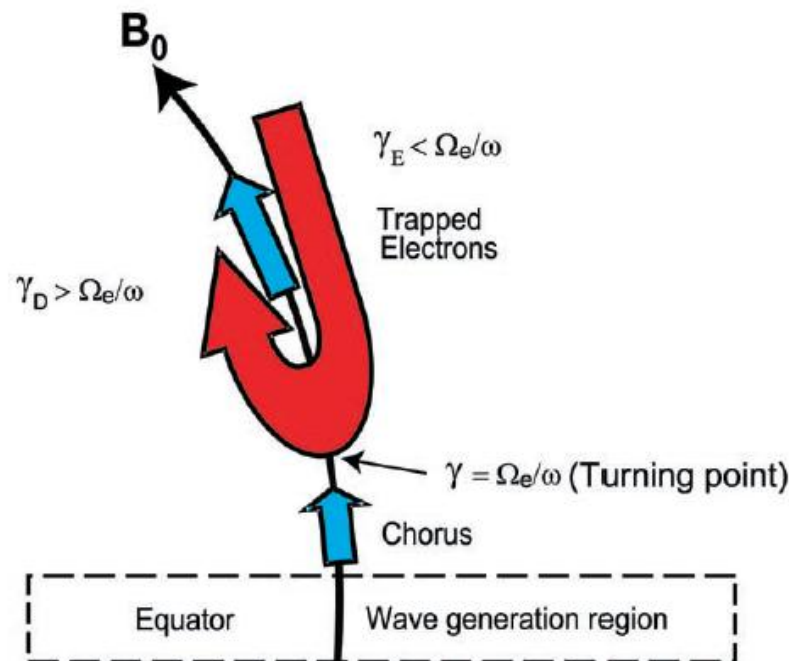
Karpman et al. 1974

# Захват и ускорение электронов параллельными вистлерными волнами

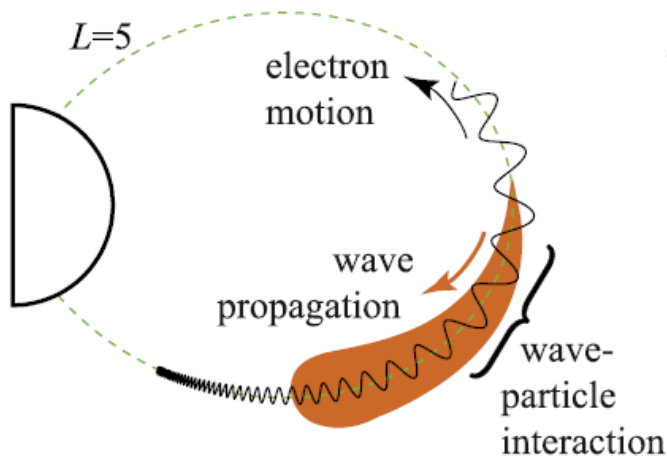


Cyclotron acceleration of radiation belt electrons by whistlers, **V. Y. Trakhtengerts** et al. 2003 JGR

## RELATIVISTIC TURNING ACCELERATION



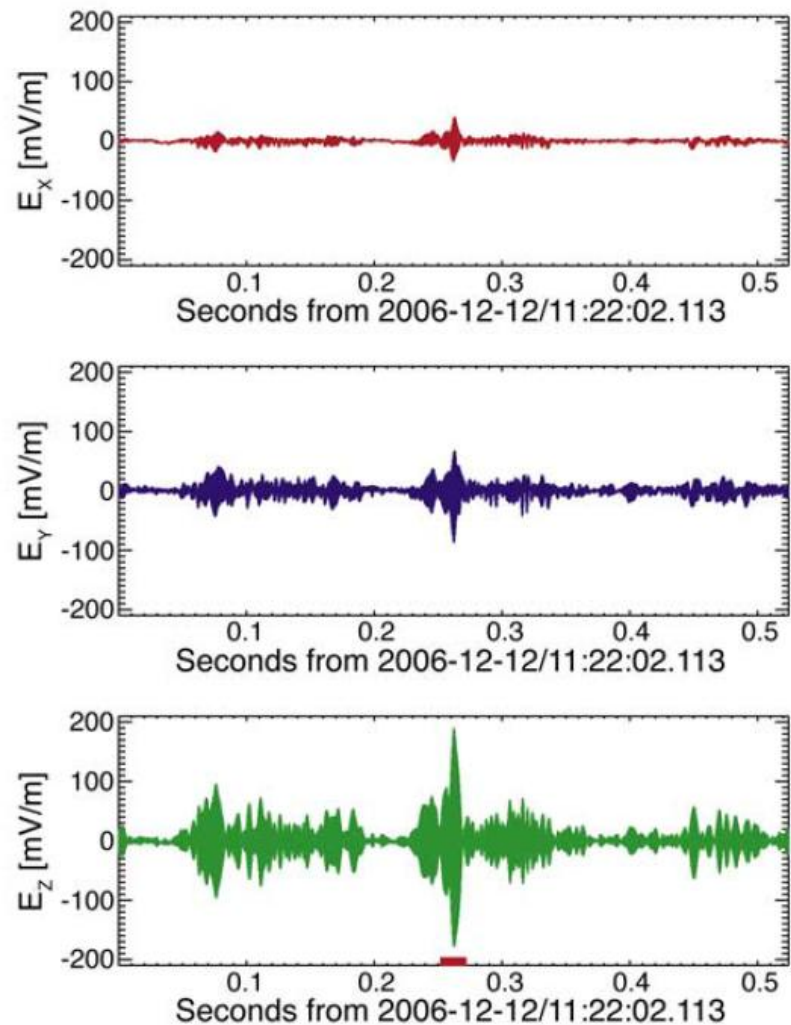
Relativistic turning acceleration of resonant electrons by coherent whistler mode waves in a dipole magnetic field **Y. Omura**, et al. 2007 JGR



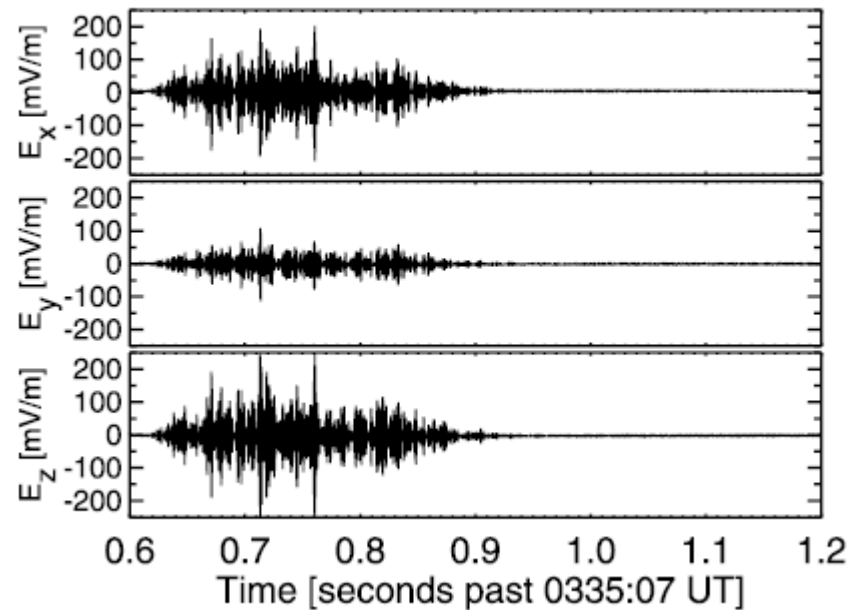
Nonlinear interaction of energetic electrons with large amplitude chorus **J. Bortnik** et al. 2008 GRL

# Наблюдения вистлерных волн большой амплитуды

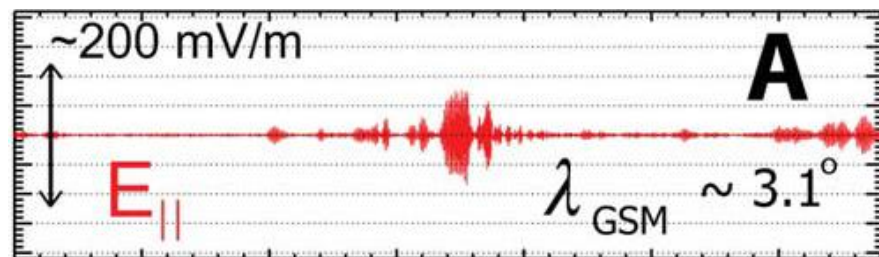
Cattel et al. 2008 GRL



THEMIS-E EFI 2007-11-14

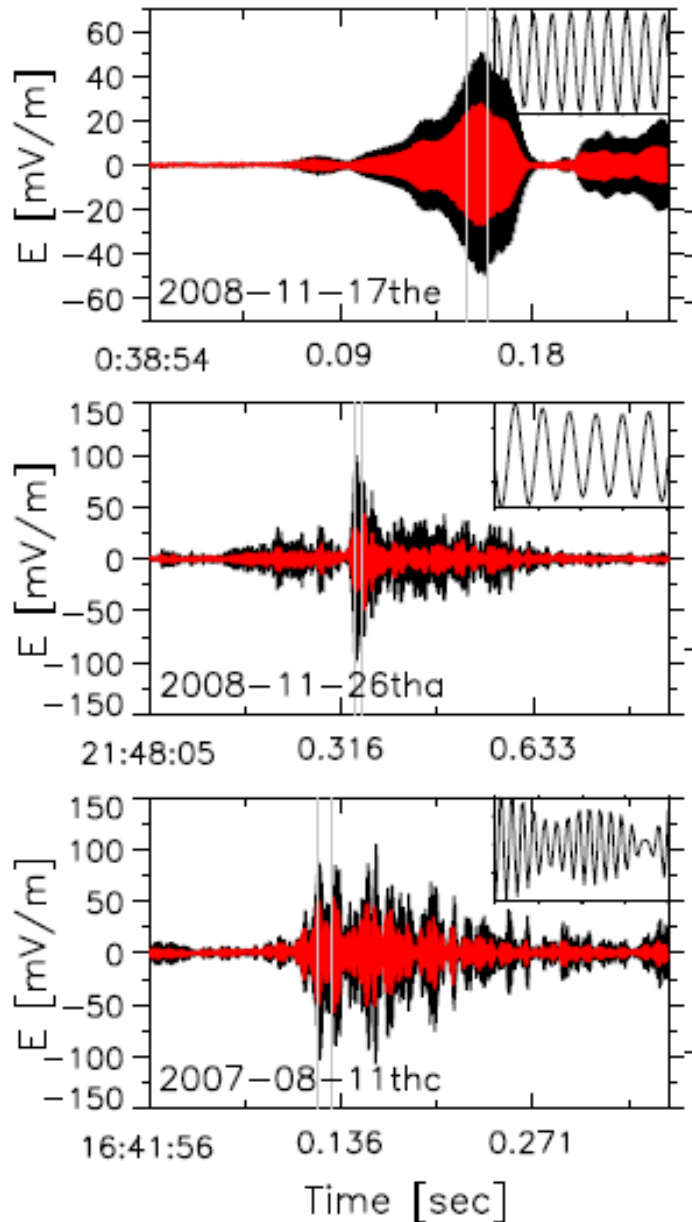


Cully et al. 2008 GRL

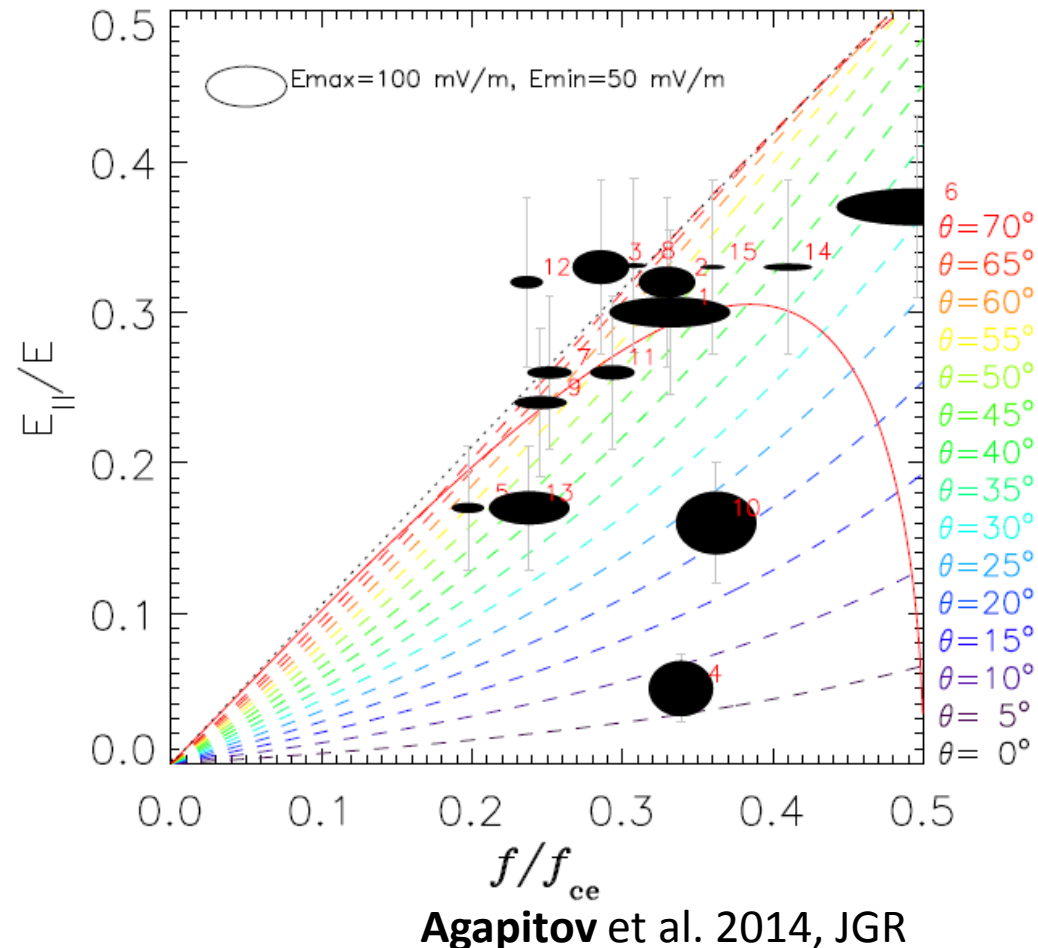


Wilson et al. 2011 GRL

# Особенности распространения вистлерных волн



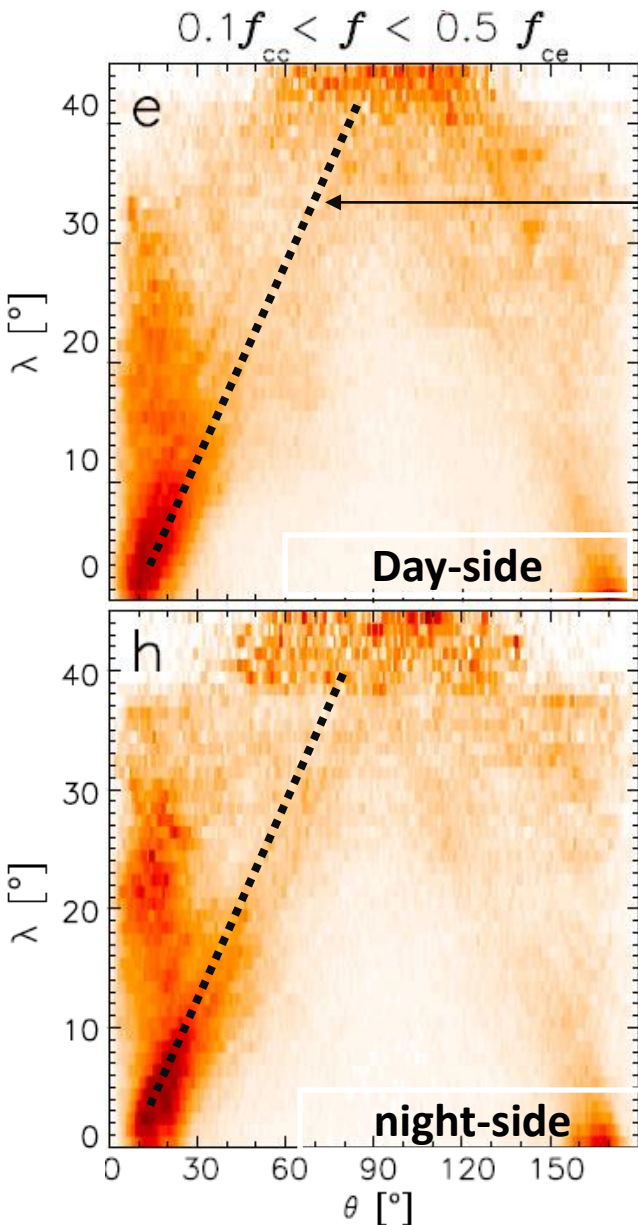
Statistics of 15 whistler waves with large amplitude observed by THEMIS mission





# Статистика углов распространения вистлерных волн

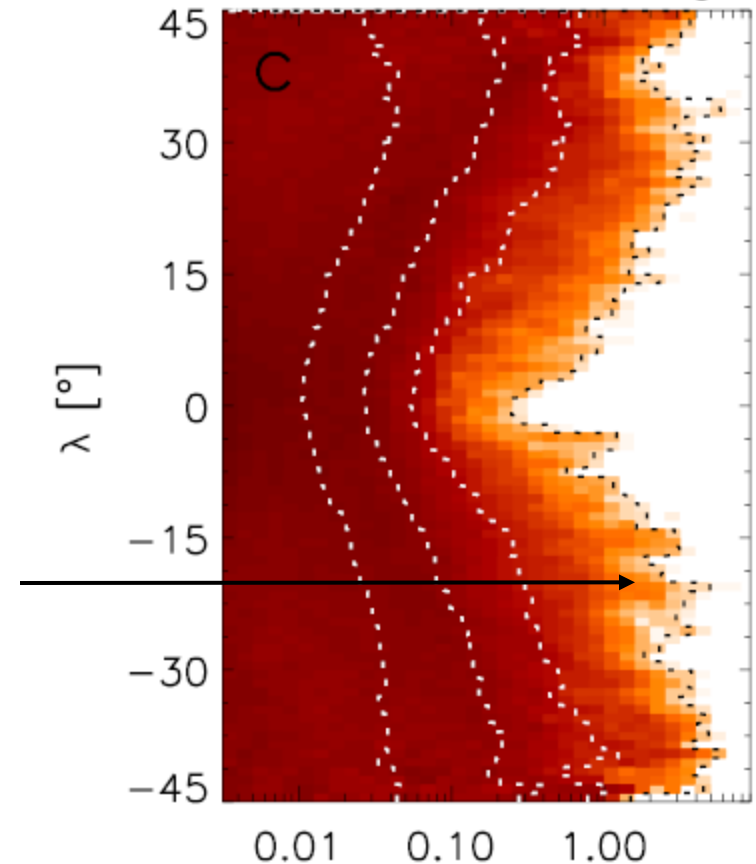
Ten years of Cluster statistics gives following distribution of number of waves ( $L < 5$ )



Популяция косых волн

Increase of wave electric field with latitude corresponds to increase of normal angle and transformation of whistler wave into electrostatic mode.

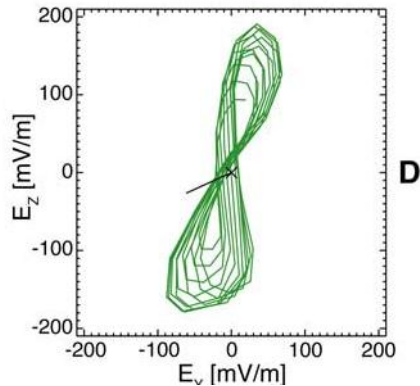
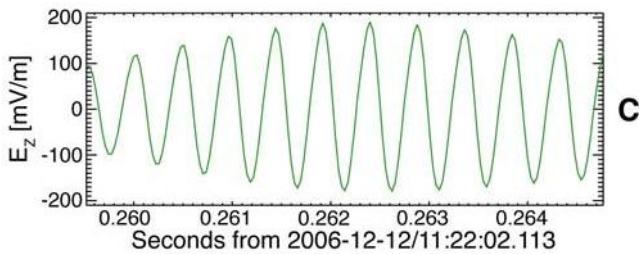
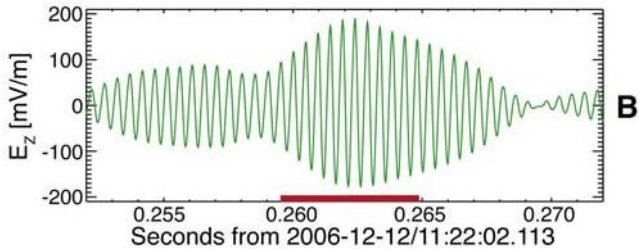
Распределение электрического поля мВ/м (усреднение 4 с)



Agapitov et al. 2013, JGR

# Модель распределения электрического поля волн вдоль силовых линий магнитного поля

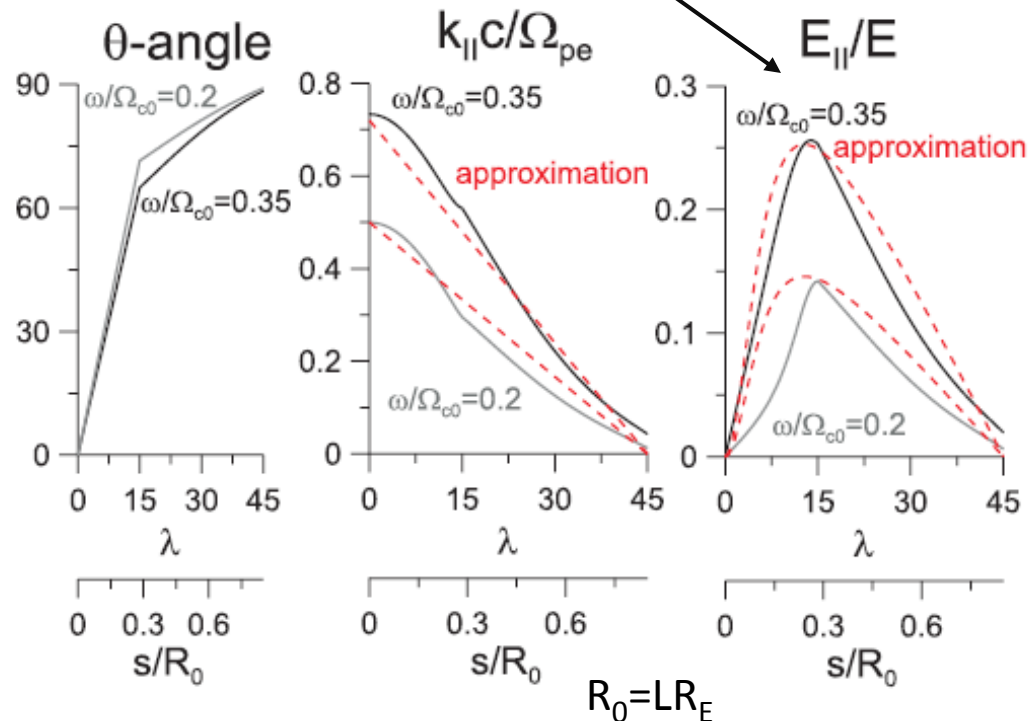
Cattel et al. 2008 GRL



$$\omega = \frac{\omega_e c^2 k^2 \cos \theta}{(kc)^2 + \omega_{pe}^2}, \quad \theta = \theta(\lambda)$$

We use a model of increase of  $\theta$  with latitude and restore components of wave electric field

Increase on normal angle should result in increase of  $E_{\parallel}$  new  $\lambda \sim 15^\circ$



Quasi-electrostatic mode?

# Уравнения движения электрона

effective variation of wave-amplitude along the field line is taken by approximation of Cluster data

$$\phi = \phi_0 + \int^z k_{\parallel}(z') dz' + k_{\perp} x - \omega t$$

$$H = m_e c^2 \gamma - e \Phi_0 u(z) \sin \phi$$

$$\gamma = \sqrt{1 + \frac{p_x^2 + p_z^2}{(m_e c)^2} + \left( \frac{e}{c^2 m} x B(z) \right)^2}$$

n=0, резонанс Ландау  
n=-1, циклотронный резонанс

$$H = \gamma - \varepsilon u(z) \sum_n J_n(\eta) \sin \phi_n$$

Model (curvature free) magnetic field distribution along field line

$$\gamma = \sqrt{1 + p_z^2 + 2I_x \chi b(z)}$$

**Магнитный момент**

$$I_x = \frac{1}{2\pi} \oint p_x dx$$

$$\phi_n = \phi_{0n} + \int k_{\parallel}(z') dz' + n\theta - \omega t$$

**Условия резонанса**

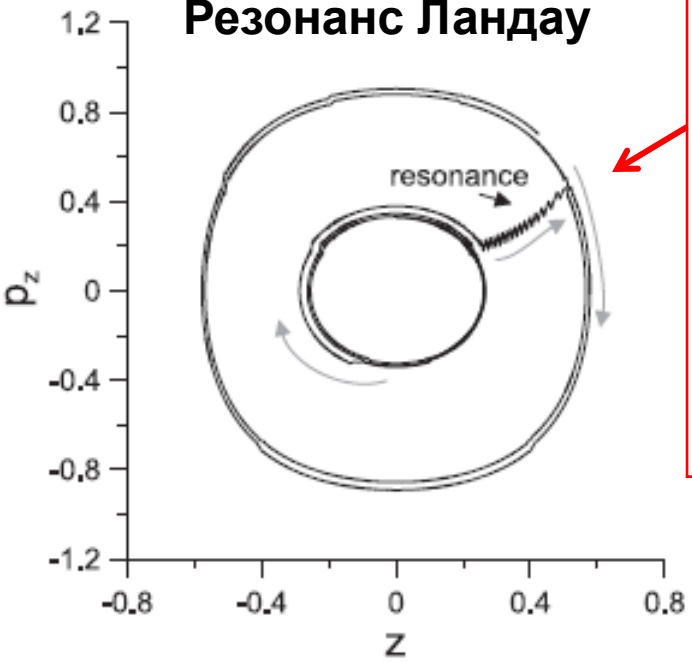
$$\eta = k_{\perp} \sqrt{2I_x / \chi b(z)}$$

$$\omega - k_{\parallel}(z) v_z = -n \frac{\chi b(z)}{\gamma}$$

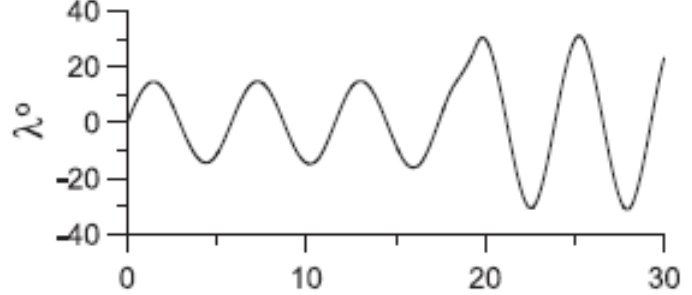
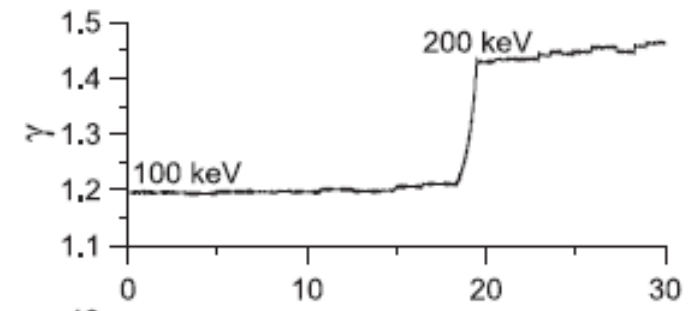


# Захват и ускорение частиц

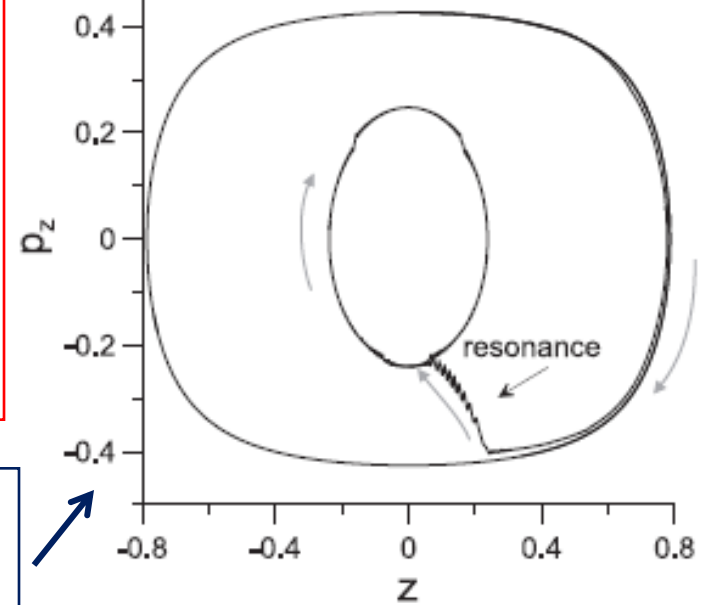
## Резонанс Ландау



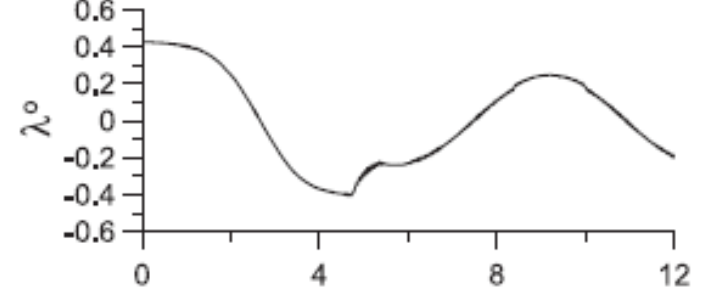
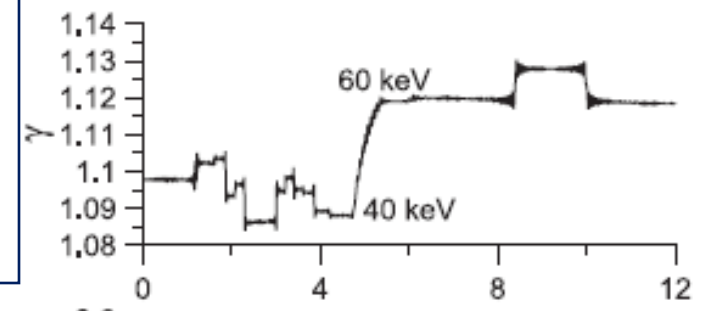
Ускорение в резонансе приводит к сдвигу точек отражения в более высокие широты – уменьшение питч-угла!



## Циклотронный резонанс

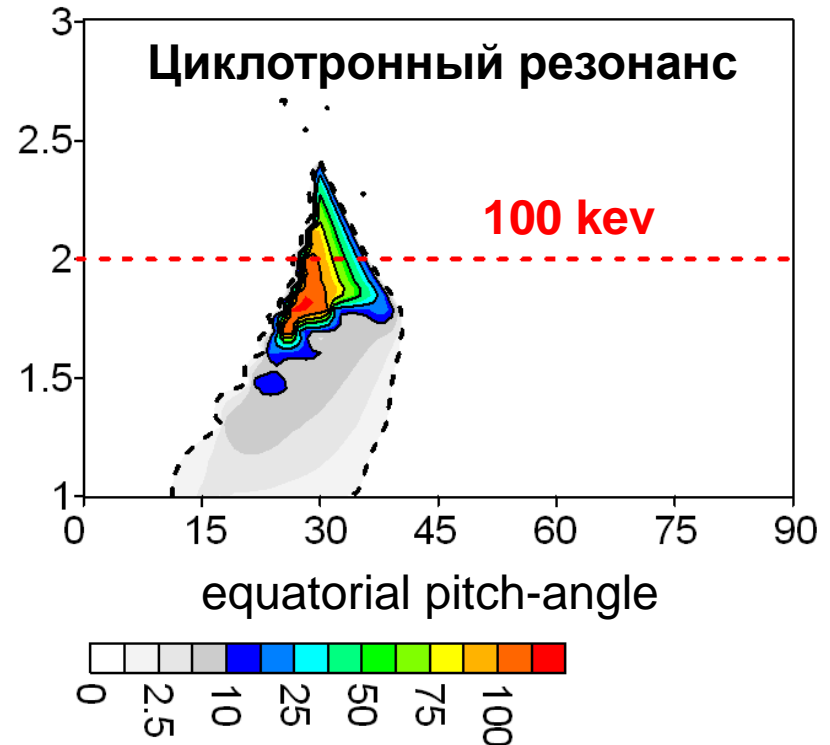
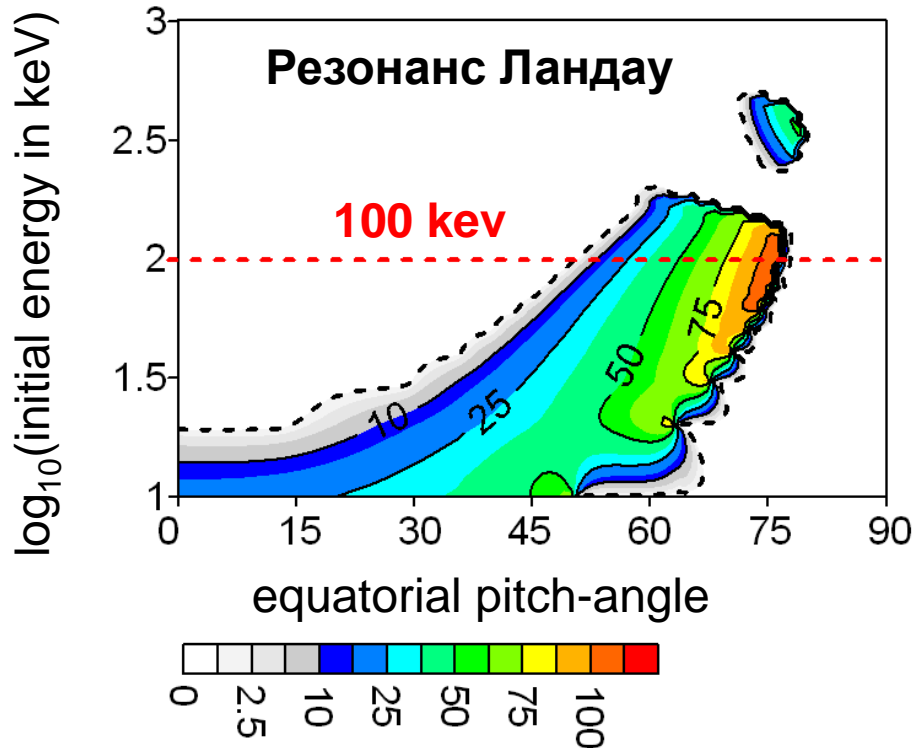


Ускорение в резонансе приводит к сдвигу точек отражения в низкие широты – увеличение питч-угла!



# Сопоставление эффективности ускорения ( $L=4.5$ , $E_{0||}=100$ mV/m)

На рисунках показан максимально возможный набор энергии за один захват как функция начальной энергии и начального питч-угла. Данные показаны для двух резонансов. **Горизонтальная линия показывает частицы с начальными энергиями ~100 кэВ.**

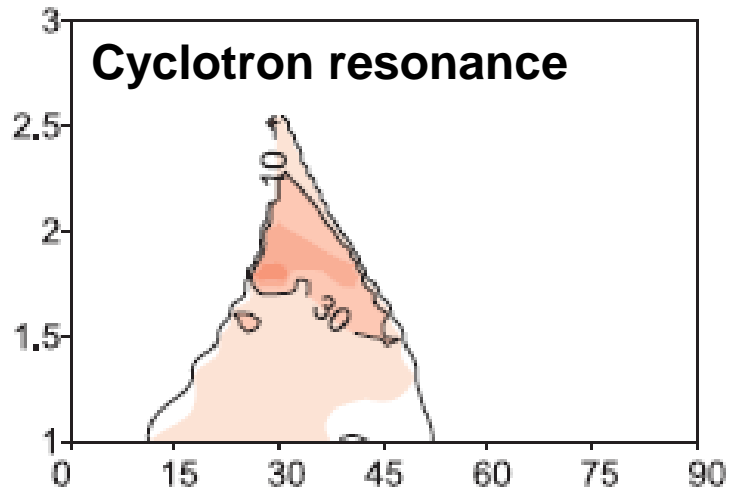
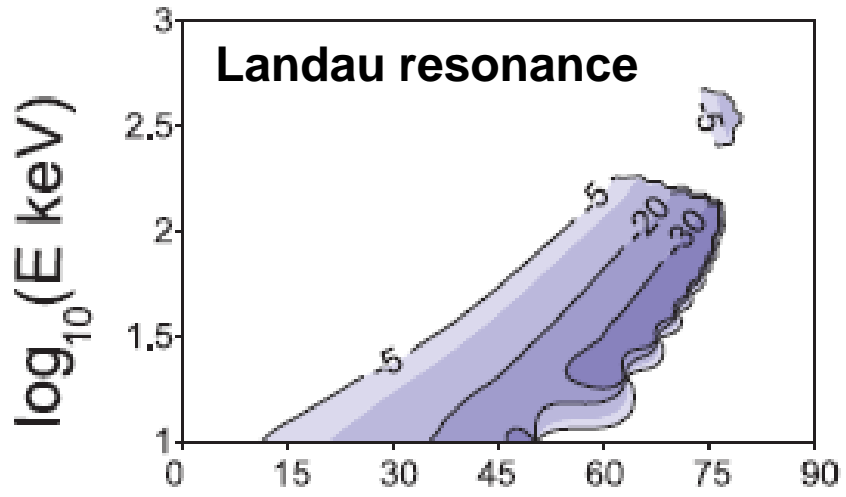


energy gain in keV

# Сопоставление скачков питч-угла

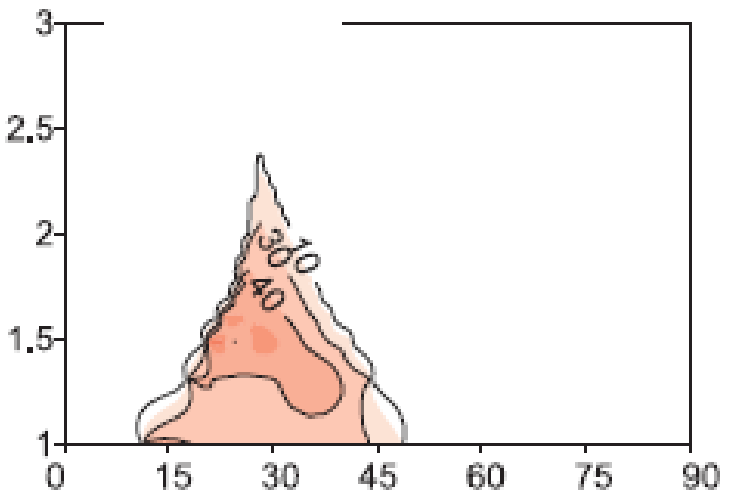
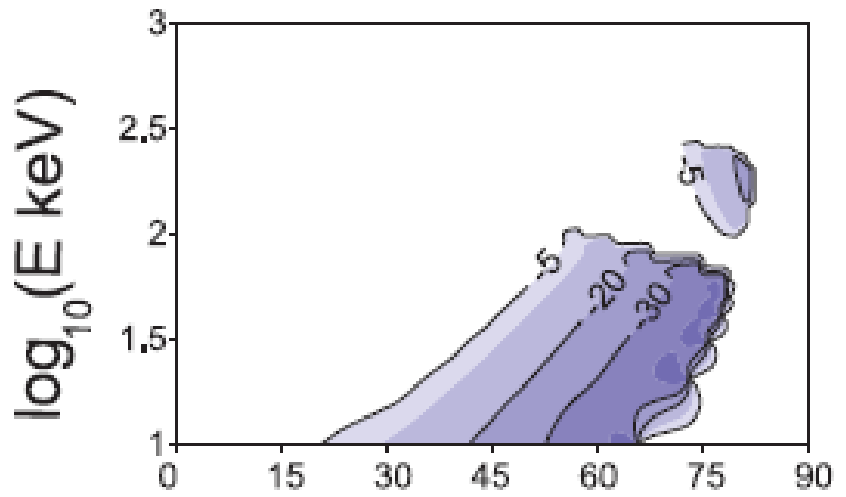
$L=4.5$

$E_{0||}=100\text{mV/m}$

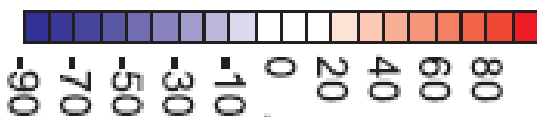


$L=7.0$

$E_{0||}=50\text{mV/m}$



$\alpha_0$



$\alpha_0$

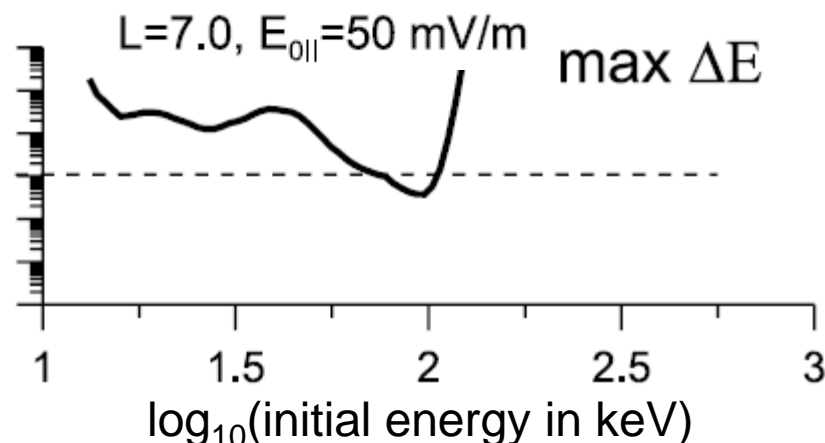
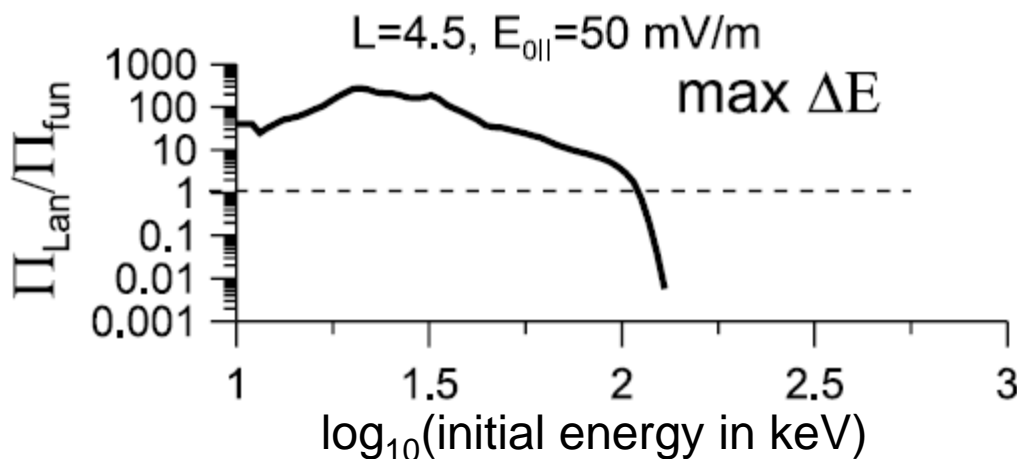
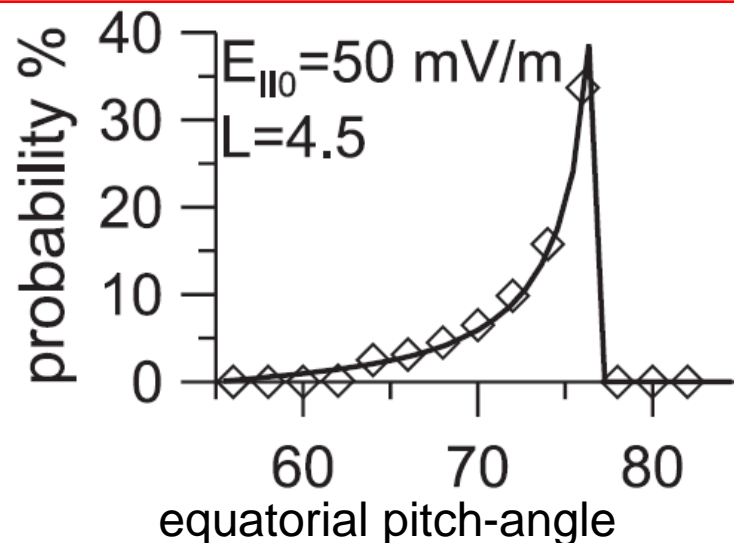
$\Delta\alpha_0$

# Сопоставление вероятностей захвата

При заданных начальных питч-угле и энергии вероятность захвата  $\Pi < 1$  может быть определена, как отношение частиц, захваченных при первом прохождении через резонанс, к общему числу частиц, прошедших через резонанс.

Вероятность захвата для Ландау-резонанса при начальной энергии  $\sim 100$  кэВ

Сопоставление вероятностей захвата в Ландау резонанс и в циклотронный резонанс для частиц, набирающих максимально возможную энергию. **Захват в Ландау-резонанс в 10-100 раз более вероятен!**



## **Выводы:**

- Наблюдаемые амплитуды сильно наклонных вистлерных волн достаточно большие, чтобы обеспечить условия нелинейного ускорения электронов за счёт захвата в Ландау- и в циклотронный резонансы.
- При захвате в резонанс Ландау частица движется вместе с волной. Как следствие, эффекты конечности размера волнового пакета не столь существенны для ускорения
- Область значений начальных энергий и питч-углов для электронов, которые могут быть захвачены в резонанс Ландау, существенно больше области, соответствующей циклотронному резонансу.

**Соотношение вероятностей захвата в Ландау резонанс и в циклотронный резонанс указывает на то, что для вистлерных волн, распространяющихся под большим углом к внешнему магнитному полю, Ландау-резонанс более эффективен для ускорения электронов!**



# Landau resonance: equations

Hamiltonian equations do not contain any dependence on gyrophase  $\theta$ . Thus, magnetic moment  $I_x$  is conserved!

$$H = \gamma - \varepsilon u_0(z) \sin \phi,$$

$$\gamma = \sqrt{1 + p_z^2 + 2I_x \chi b(z)},$$

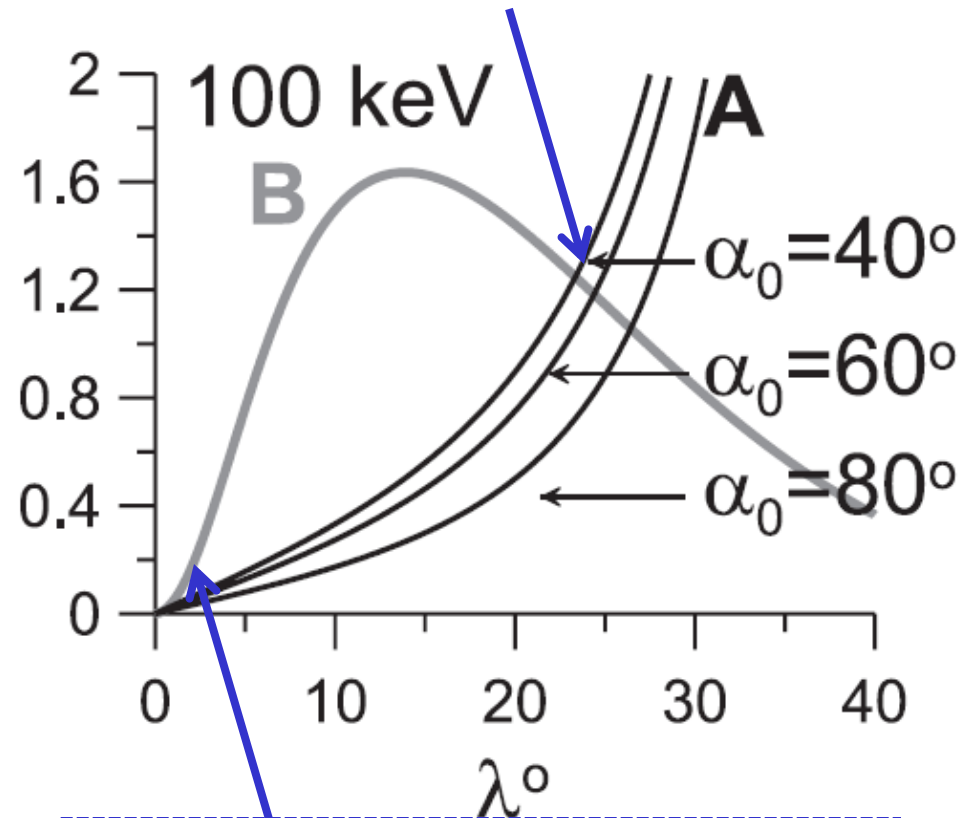
$$\phi = \phi_0 + \int^z k_{\parallel}(z') dz' - \omega t.$$

Expansion in the vicinity of resonance

$$\begin{cases} (\gamma/k_{\parallel}) \ddot{\phi} = -A + B \cos \phi \\ A = \frac{\gamma_R^2}{\gamma} (-v_R^2 \gamma^2 (k'_{\parallel}/k_{\parallel}) + I_x \chi b') \\ B = \varepsilon k_{\parallel} u_0 \\ \gamma = \gamma_R \sqrt{1 + 2I_x \chi b(z)}. \end{cases}$$

Coefficients **A** and **B** depends only on latitude  $\lambda$ !

$B < A$ : escape from the resonance



$B > A$ : trapping for resonant electrons

# Cyclotron resonance: equations

$$H = \gamma - \varepsilon u_1(z) \sin \phi,$$

$$\gamma = \sqrt{1 + p_z^2 + 2I_x \chi b(z)},$$

$$\phi = \phi_0 + \int^z k_{\parallel}(z') dz' - \theta - \omega t.$$



Expansion in the vicinity of resonance

$$(\gamma/k_{\parallel}) \ddot{\phi} = -A + B \cos \phi,$$

$$A = \gamma_R^2 \frac{I_x \chi b'}{\gamma} + \gamma_R^2 \gamma v_R v_R',$$

$$B = \gamma_R^2 \left( 1 - v_R^2 \frac{\omega \gamma}{\chi b - \omega \gamma} \right) \varepsilon k_{\parallel} u_1$$

$$\gamma = \gamma_R \sqrt{1 + 2I_x \chi b(z)}.$$

Magnetic moment  $I_x$  evolves along the resonant trajectory!

Evolution of magnetic moment due to explicit dependence on gyrophase  $\theta$

$$\dot{I}_x = \varepsilon u_1 \cos \phi$$

Coefficients **A** and **B** depends on two variables: latitude  $\lambda$  and  $I_x$ .

The resonance trajectory in the  $(z, p_z)$  space is not line (like for Landau resonance,  $p_z = p_{z, res}$ ), but is some curve:

$$\begin{cases} p_z = (\omega \gamma - \chi b(z)) / k_{\parallel}(z) \\ \gamma = \sqrt{1 + p_z^2 + 2I_x \chi b(z)} \\ I_x = I_{x, res}(p_z, z) \end{cases}$$